

สารบัญ

หน้า

คำขอบคุณ

๑

บทคัดย่อ

๒

Abstract

๓

รายการตารางประกอบ

๔

รายการภาพประกอบ

๕

อักษรย่อและสัญลักษณ์

๖

บทที่ ๑ บทนำ

๗

 1.๑ พงษ์พอก

๘

 1.๒ เชอร์เฟคแทนท์

๙

 1.๓ สิ่งสกปรก

๑๐

 1.๔ กลไกการซักล้าง

๑๐

 1.๕ การติดตามประเมินผลของพงษ์พอกโดยการใช้สารกัมมันตรังสี

๑๕

 1.๖ วัตถุประสงค์ของการวิจัย

๑๗

บทที่ ๒ การทดลองและผลการทดลอง

๑๘

 2.๑ เครื่องมือและอุปกรณ์ที่ใช้ในการทดลอง

๑๘

 2.๒ สารเคมีที่ใช้ในการทดลอง

๑๙

 2.๓ สภาวะที่เหมาะสมของการเตรียมสิ่งสกปรกและการซักล้าง

๑๙

 2.๔ วิธีการทดลอง

๒๐

 2.๕ ชนิดของพงษ์พอกที่ใช้ในการทดลอง

๒๓

 ผลการทดลอง

๒๔

บทที่ ๓ สรุปและวิเคราะห์ผลการทดลอง

๔๔

เอกสารอ้างอิง

๕๗

ภาคผนวก

๕๙

ภาคผนวก

ภาคผนวก 1 สารทำให้เป็นก	60
ภาคผนวก 2 การชั้นสิ่งสกปรกและการกลับมาเก่าใหม่ของสิ่งสกปรก	61
ภาคผนวก 3 การบังคับการกลับมาเบรอะ เปื้อนของสิ่งสกปรก	65
ภาคผนวก 4 สมบัติของสารที่ใช้ในการขักฟอก	67
ภาคผนวก 5 สารรังสี	68
ภาคผนวก 6 โครงสร้างต่าง ๆ ของเส้นใย	71
ภาคผนวก 7 การวัดรังสีแกรมม่าโดยการดูดกลืนรังสีแกรมม่าของหัววัด รช.เตียมไอยโอดีต์ (ชัลเลียม)	79
ภาคผนวก 8 การหาศักย์การทำงานที่เหมาะสมของหัววัด NaI (T1)	81
ภาคผนวก 9 เครื่องวัดรังสีแบบ G.M.-counter	83
ภาคผนวก 10 การหา Chi-square test	87

ลิขสิทธิ์มหาวิทยาลัยเชียงใหม่
 Copyright[©] by Chiang Mai University
 All rights reserved

รายการตารางประกอบ

ตารางที่	หน้า
1.1 ประโยชน์ของ Cationic surfactant ทั่วไป ๆ	7
1.2 ค่าแรงดึงดูดของชักพอกชนิดต่าง ๆ	12
2.1 ประสิทธิภาพของผงชักพอกชนิดต่าง ๆ ในปริมาณ 0.5 กรัม เมื่อชักผ้าด้วย	24
2.2 ประสิทธิภาพของผงชักพอกชนิดต่าง ๆ ในปริมาณ 0.5 กรัม เมื่อชักผ้าฝ่าย	26
2.3 ประสิทธิภาพของผงชักพอกชนิดต่าง ๆ ในปริมาณ 0.5 กรัม เมื่อชักผ้าลินินเทียม	28
2.4 ประสิทธิภาพของผงชักพอกชนิดต่าง ๆ ในปริมาณ 0.5 กรัม เมื่อชักผ้าในลอน	30
2.5 ประสิทธิภาพของผงชักพอกชนิดต่าง ๆ ในปริมาณ 0.5 กรัม เมื่อชักผ้าหางเร	32
2.6 ประสิทธิภาพของผงชักพอกชนิดต่าง ๆ ในปริมาณ 0.2 กรัม เมื่อชักผ้าด้วย	34
2.7 ประสิทธิภาพของผงชักพอกชนิดต่าง ๆ ในปริมาณ 0.2 กรัม เมื่อชักผ้าฝ่าย	36
2.8 ประสิทธิภาพของผงชักพอกชนิดต่าง ๆ ในปริมาณ 0.2 กรัม เมื่อชักผ้าลินินเทียม	38
2.9 ประสิทธิภาพของผงชักพอกชนิดต่าง ๆ ในปริมาณ 0.2 กรัม เมื่อชักผ้าในลอน	40
2.10 ประสิทธิภาพของผงชักพอกชนิดต่าง ๆ ในปริมาณ 0.2 กรัม เมื่อชักผ้าหางเร	42
3.1 เปรียบเทียบประสิทธิภาพของผงชักพอกไวน้ำผ้าต่างชนิดกัน	44
3.2 เปรียบเทียบประสิทธิภาพของผงชักพอกชนิดเดียวกัน เมื่อใช้ชักผ้าดับกับผ้าในลอน	46
ตามการทดลองของ Waggoner	
3.3 เปรียบเทียบประสิทธิภาพของผงชักพอกชนิดต่าง ๆ ในปริมาณ 0.2 และ 0.5 กรัม แต่เปอร์เซนต์ต่างกัน	47
3.4 เปรียบเทียบประสิทธิภาพระหว่างผ้าฝ้ายกับผ้าหางเรซึ่งมีส่วนประกอบคล้ายกัน แต่เปอร์เซนต์ต่างกัน	48
3.5 เปรียบเทียบประสิทธิภาพผงชักพอก เมื่อใช้ปริมาณต่าง ๆ กับผ้าชนิดเดียวกัน ติดฉลากสิ่งสกปรกด้วยไอโอดีน-131	49
3.6 เปรียบเทียบประสิทธิภาพผงชักพอกเหมือน 3.5 แต่ติดฉลากสิ่งสกปรกด้วย พอสฟอรัส-32	51

รายการภาพประกอบ

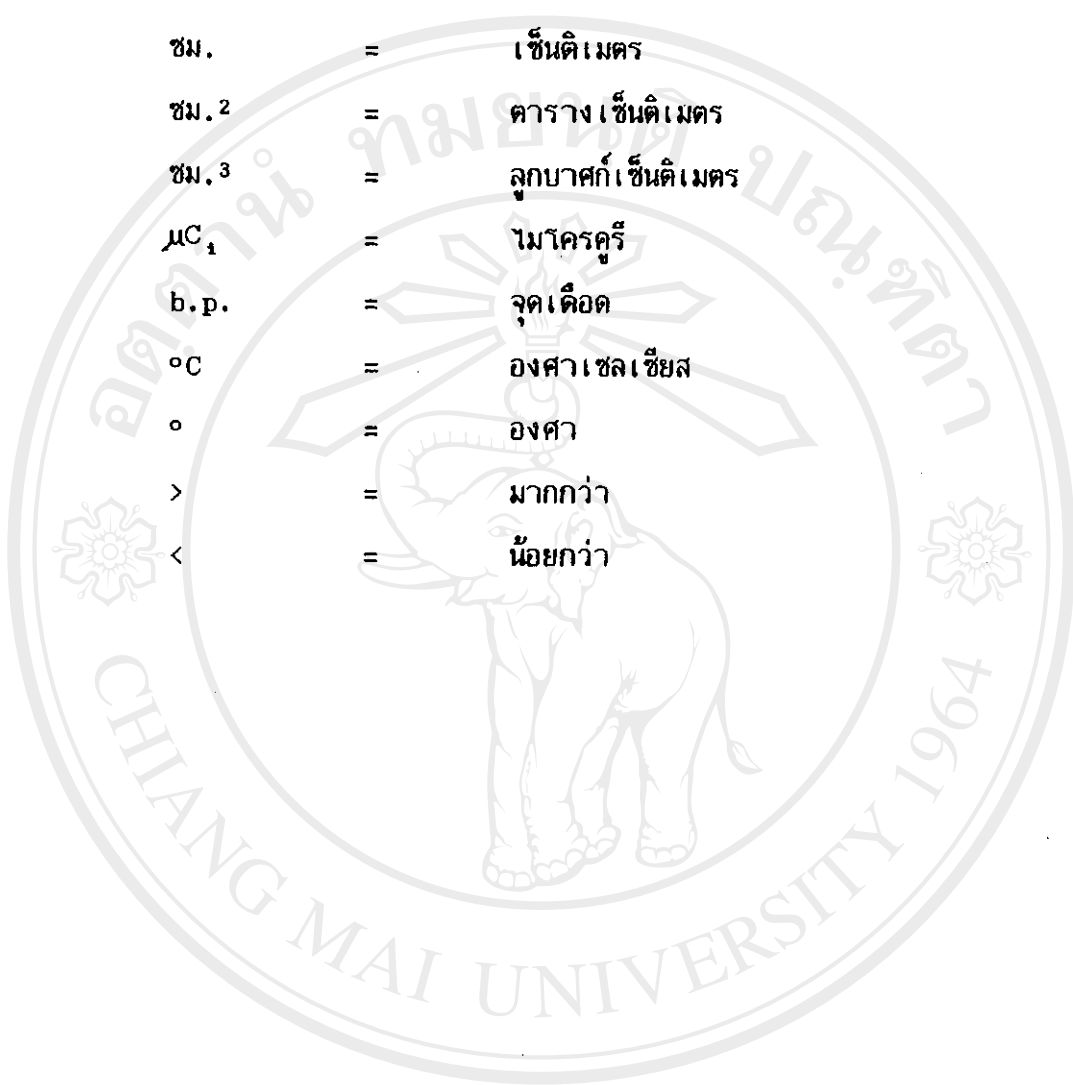
หน้า

การสลายตัวของ เชอร์แฟคแทนท์	4
แสดงแรงตึงระหว่างไนเลกุลที่ผิวและไนเลกุลที่อยู่ภายในของ เนล่า	11
แรงเอ็คซ์ชันของของ เนล่าที่มีต่อของแข็ง	13
ประสิทธิภาพของพังชักฟอกชนิดต่าง ๆ ในปริมาณ 0.5 กรัม เมื่อชักผ้าดิบ	25
ประสิทธิภาพของพังชักฟอกชนิดต่าง ๆ ในปริมาณ 0.5 กรัม เมื่อชักผ้าฝ้าย	27
ประสิทธิภาพของพังชักฟอกชนิดต่าง ๆ ในปริมาณ 0.5 กรัม เมื่อชักผ้าลินินเทียม	29
ประสิทธิภาพของพังชักฟอกชนิดต่าง ๆ ในปริมาณ 0.5 กรัม เมื่อชักผ้าในลอน	31
ประสิทธิภาพของพังชักฟอกชนิดต่าง ๆ ในปริมาณ 0.5 กรัม เมื่อชักผ้าโรเตร	33
ประสิทธิภาพของพังชักฟอกชนิดต่าง ๆ ในปริมาณ 0.2 กรัม เมื่อชักผ้าดิบ	35
ประสิทธิภาพของพังชักฟอกชนิดต่าง ๆ ในปริมาณ 0.2 กรัม เมื่อชักผ้าฝ้าย	37
ประสิทธิภาพของพังชักฟอกชนิดต่าง ๆ ในปริมาณ 0.2 กรัม เมื่อชักผ้าลินินเทียม	39
ประสิทธิภาพของพังชักฟอกชนิดต่าง ๆ ในปริมาณ 0.2 กรัม เมื่อชักผ้าในลอน	41
ประสิทธิภาพของพังชักฟอกชนิดต่าง ๆ ในปริมาณ 0.2 กรัม เมื่อชักผ้าโรเตร	43
เปรียบเทียบประสิทธิภาพของพังชักฟอกในปริมาณต่าง ๆ กับผ้าฝ้ายติดคลาก สิ่งสกปรกด้วยไอโซดีน-131	52
เปรียบเทียบประสิทธิภาพของพังชักฟอกแพ็บบันปริมาณต่าง ๆ กับผ้าฝ้ายติดคลาก สิ่งสกปรกด้วยไอโซดีน-131	53
เปรียบเทียบประสิทธิภาพของพังชักฟอกในปริมาณต่าง ๆ กับผ้าฝ้ายติดคลาก สิ่งสกปรกด้วยฟอร์ส-32	54
เปรียบเทียบประสิทธิภาพของพังชักฟอกแพ็บบันปริมาณต่าง ๆ กับผ้าฝ้ายติดคลาก สิ่งสกปรกด้วยฟอร์ส-32	55
การจัดสิ่งสกปรกบนพื้นผิวของของแข็งด้วยน้ำ	61
การเกิด electrical double layer ที่พื้นผิวระหว่างสิ่งสกปรกกับน้ำ และพื้นผิวของของแข็งกับน้ำ	62

แสดงการเพิ่มหักยืดประจุลบที่พิเศษของของแข็งและสิ่งสกปรก	63
แสดงการจัดレイด์น้ำมันออกจากพื้นผิวของของแข็งด้วยแรงจากน้ำ เมื่อ $\theta > 90^\circ$	64
แสดงการจัดレイด์น้ำมันออกจากพื้นผิวของของแข็งด้วยแรงจากน้ำ เมื่อ $\theta < 90^\circ$	64
การจัดสิ่งสกปรกจากพื้นผิวของของแข็งด้วยพังชักฟอกและแรงลั่นสะเทือน	65
โครงสร้างของ Cotton	71
(a) โครงสร้างคร่าว ๆ 1 หน่วย cellulose	71
(b) การจับตัวของ cellulose ที่มีพันธะไฮโดรเจนระหว่าง OH-group บน C-3 และทางแนวออกซิเจนที่ C-5	
โครงสร้างผลึกของ polyethylene terephthalate	75
0 พันธะไฮโดรเจนใน nylon 6	76
1 ก. Spectrum ของการวัดรังสีแกมม่าของกัมมันตภาพรังสี ^{137}Cs ข. แผนผังการสลายตัวของ ^{137}Cs	80
2 G.M.-counter ชนิดต่าง ๆ	82
3 วงจรของ G.M.-counter อย่างคร่าว ๆ	84

อักษรย่อและสัญลักษณ์

ซม.	=	เซ็นติเมตร
ซม. ²	=	ตารางเซ็นติเมตร
ซม. ³	=	ลูกบาศก์เซ็นติเมตร
μC_1	=	ไมโครคูล์
b.p.	=	จุดเดือด
°C	=	องศาเซลเซียส
°	=	องศา
>	=	มากกว่า
<	=	น้อยกว่า



ลิขสิทธิ์มหาวิทยาลัยเชียงใหม่
Copyright © by Chiang Mai University
All rights reserved